

图 8.61 断开电压-电流反馈环路的原理图

例 8.15

图 8.62(a)显示了光通信系统中常用的跨阻放大器的结构。如果 $\lambda=0$, 确定电路的增益和输入、输出阻抗。

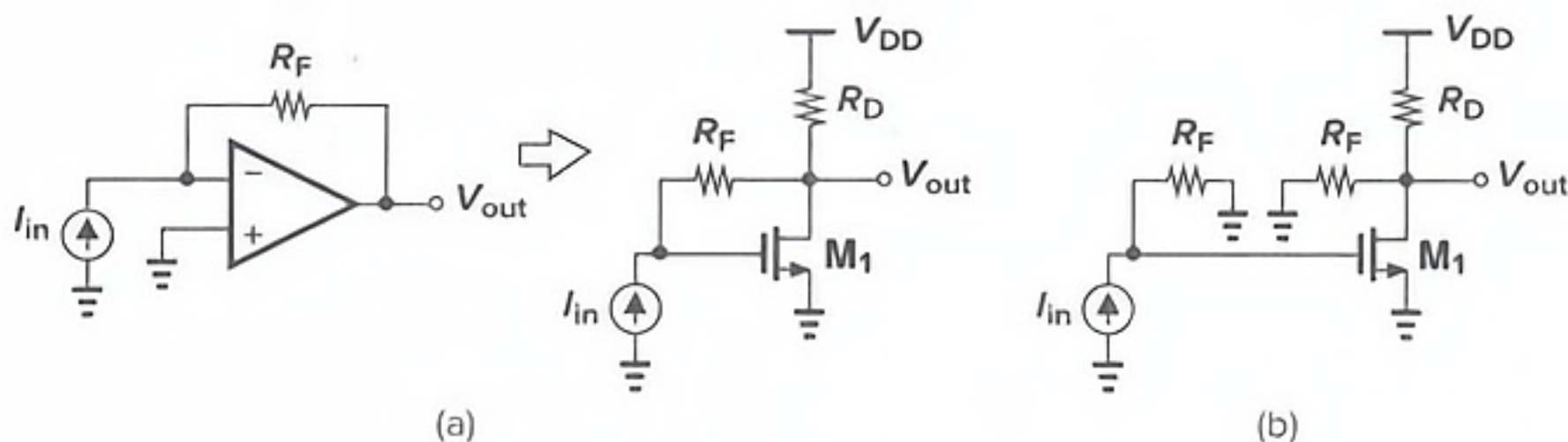


图 8.62

解: 我们可以把反馈电阻 R_F 看成一个网络, 该网络检测输出电压, 将它转换为电流, 并将结果返回到输入。根据图 8.61, 构建如图 8.62(b) 所示的加载的开环放大器, 并表示开环增益为

$$R_{0,open} = -R_F g_m (R_F \parallel R_D) \quad (8.94)$$

反馈系数 $y_{21} (=I_2/V_1, \text{如果 } V_2=0)$ 等于 $-1/R_F$ 。因此得出, 闭环增益为

$$\frac{V_{out}}{I_{in}} = \frac{-R_F g_m (R_F \parallel R_D)}{1 + g_m (R_F \parallel R_D)} \quad (8.95)$$

如果 $g_m (R_F \parallel R_D) \gg 1$, 上式的值变为 $-R_F$, 这是预期的结果(为什么?)。闭环的输入阻抗为

$$R_{in} = \frac{R_F}{1 + g_m (R_F \parallel R_D)} \quad (8.96)$$

如果上述条件成立, R_{in} 约等于 $(1 + R_F/R_D)(1/g_m)$ 。同样, 闭环输出阻抗为

$$R_{out} = \frac{R_F \parallel R_D}{1 + g_m (R_F \parallel R_D)} \quad (8.97)$$

如果 $g_m (R_F \parallel R_D) \gg 1$, 上式为 $1/g_m$ 。注意, 如果 $\lambda > 0$, 上式中, 我们可以简单地用 $(R_D \parallel r_o)$ 代替 R_D 。

这个跨导放大器十分简单, 以至于可以直接求解, 鼓励读者直接求解。但是, 我们可以很容易地发现两个与上述结果不一致的地方。第一, 在 M_1 的栅极断开环路所产生的环路增益为 $g_m R_D$, 而不是 $g_m (R_D \parallel R_F)$ 。第二, 闭环输出阻抗[图 8.62(a)中 I_{in} 设置为零]等于 $R_D \parallel (1/g_m) = R_D(1 + g_m R_D)$ 。上述推导得到的值可以表示为 $R_D/(1 + g_m R_D + R_D/R_F)$, 显示出了附加的一项 R_D/R_F 。这些错误来源于模型的近似性质。

例 8.16

计算图 8.63(a)所示电路的电压增益。

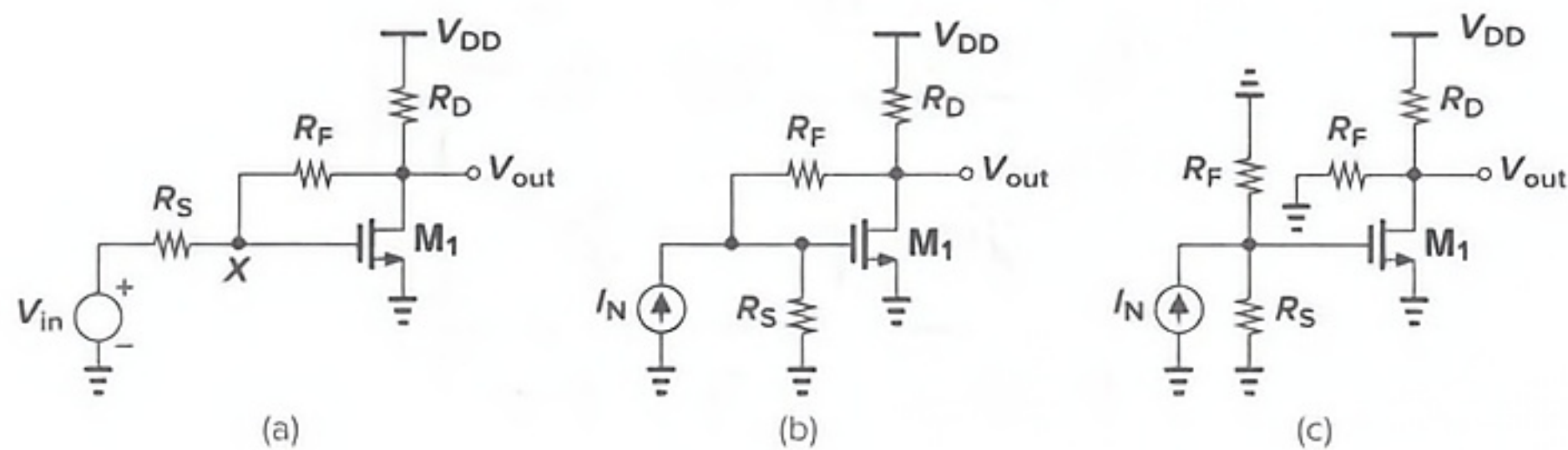


图 8.63

解:这个电路的反馈类型是什么? 电阻 R_F 检测输出电压并向 X 结点返回一个与其成正比的电流,因此这种反馈可以看作是电压-电流型。然而在图 8.60(a)所示的一般情况下,输入信号是电流量,而在本例中输入信号是电压量。因此,我们通过诺顿等效来代替 V_{in} 和 R_S [图 8.63(b)],并把 R_S 看作主放大器的输入电阻。如图 8.61 所示,断开环路,忽略沟道长度调制效应,由图 8.63(c)可以写出开环增益为

312

$$R_{0,open} = \left. \frac{V_{out}}{I_N} \right|_{open} \tag{8.98}$$

$$= -(R_S \parallel R_F) g_m (R_F \parallel R_D) \tag{8.99}$$

这里, $I_N = V_{in}/R_S$ 。我们同样可以求出环路增益为 $Y_{21} R_{0,open}$ 。这样,图 8.63(a)中电路的电压增益为

$$\frac{V_{out}}{V_{in}} = \frac{1}{R_S} \frac{-(R_S \parallel R_F) g_m (R_F \parallel R_D)}{1 + g_m (R_F \parallel R_D) R_S / (R_S + R_F)} \tag{8.100}$$

有趣的是,如果用一个电容替换 R_F ,按照以上分析,在传输函数中不会产生零点,这是因为我们忽略了反馈网络的反向传输(从反馈网络的输出端到输入端)。计算电路的输入和输出阻抗也是有用的,这里作为练习留给读者。鼓励读者把这个练习的题解应用到图 8.3(b)的电路中。

8.5.5 电流-电流反馈中的加载

在这种情况下,前馈放大器对输入电流的响应是产生输出电流,可通过模型 H 来表示,反馈网络也同样以 H 模型表示。图 8.64 所示的是等效电路,其中忽略了 H_{12} 和 h_{12} 两个发生器。根据该图可以写出

$$I_{in} = I_e H_{11} h_{22} + h_{21} I_{out} + I_e \tag{8.101}$$

$$I_{out} = -I_{out} h_{11} H_{22} + H_{21} I_e \tag{8.102}$$

313

因此,

$$\frac{I_{out}}{I_{in}} = \frac{\frac{H_{21}}{(1 + h_{22} H_{11})(1 + h_{11} H_{22})}}{1 + h_{21} \frac{H_{21}}{(1 + h_{22} H_{11})(1 + h_{11} H_{22})}} \tag{8.103}$$

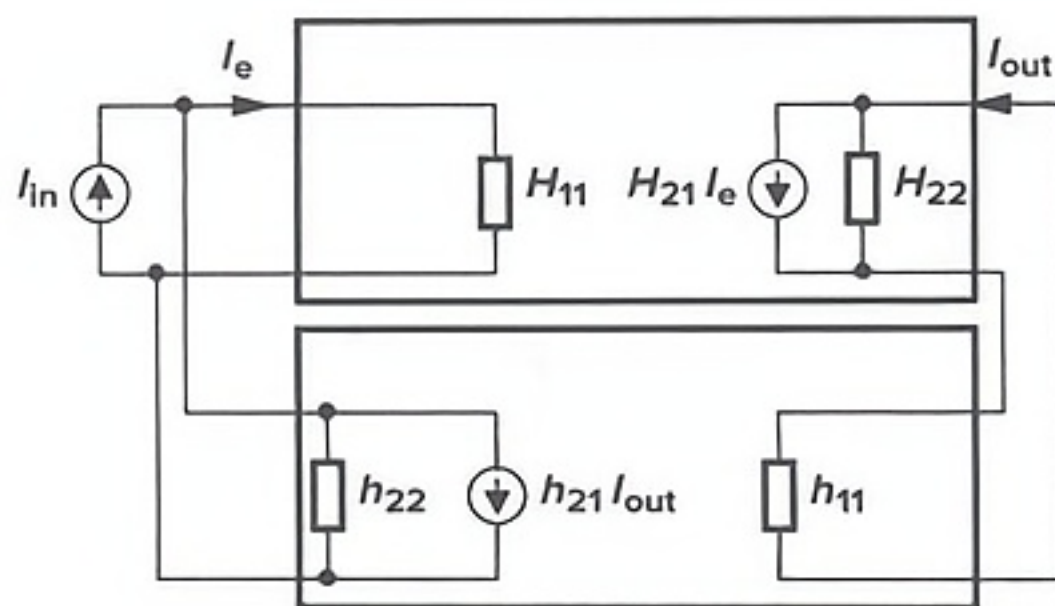


图 8.64 电流-电流反馈的等效电路

如同以前的结构,我们定义等效的开环电流增益和反馈系数分别为

$$A_{1,\text{open}} = \frac{H_{21}}{(1 + h_{22}H_{11})(1 + h_{11}H_{22})} \quad (8.104)$$

$$\beta = h_{21} \quad (8.105)$$

断开环路的原理图如图 8.65 所示,环路增益等于 $h_{21}A_{1,\text{open}}$ 。

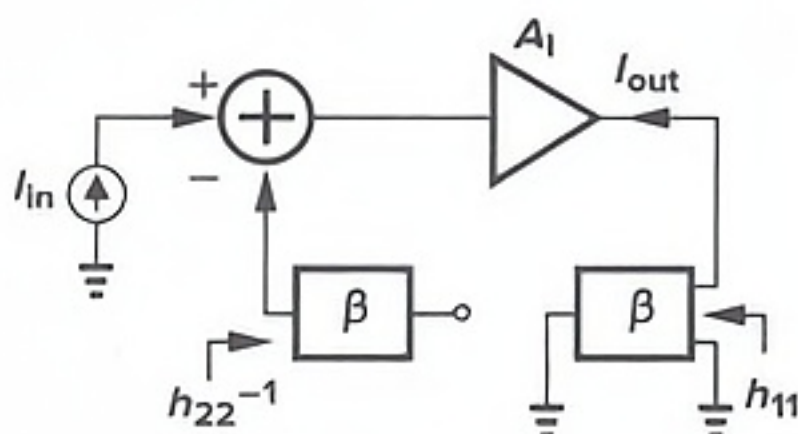


图 8.65 电流-电流反馈中加载的原理图

例 8.17

计算图 8.66(a)中电路的开环和闭环增益。假设 $\lambda = \gamma = 0$ 。

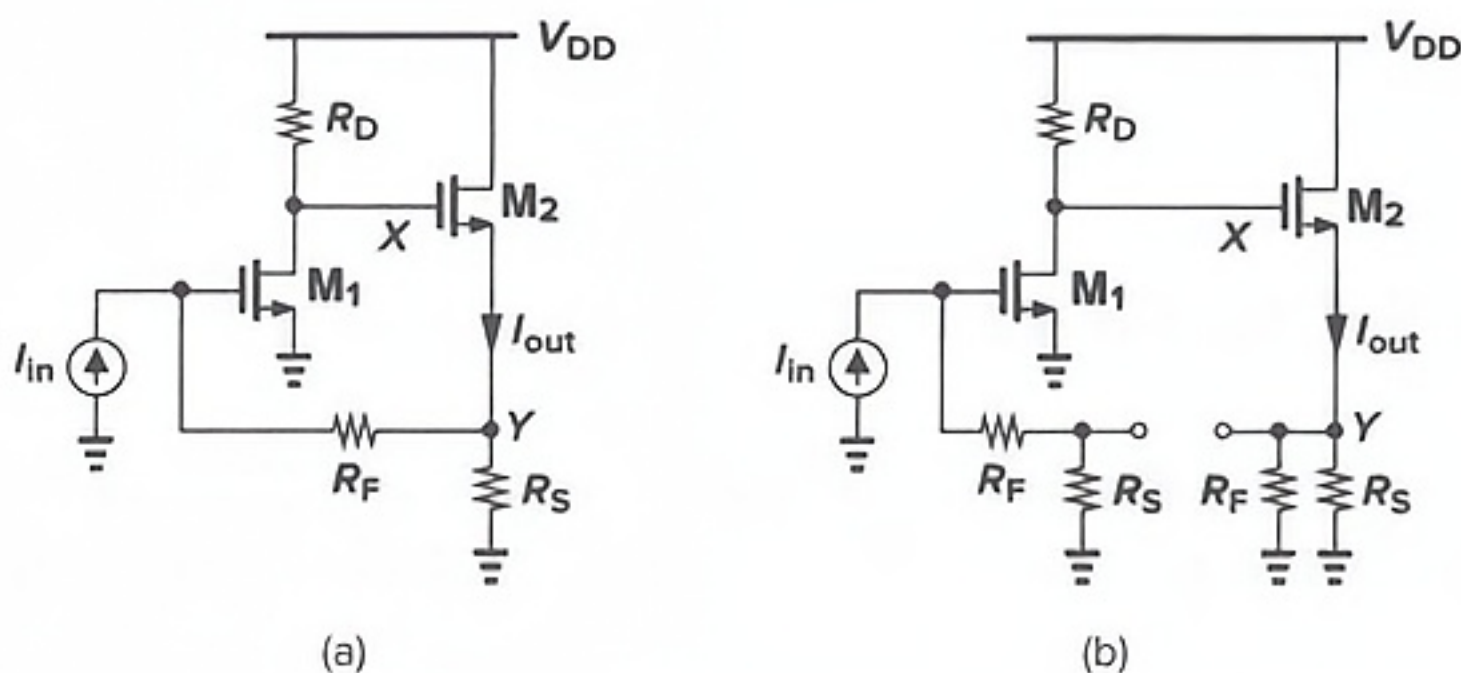


图 8.66

解:在这个电路中, R_S 和 R_F 检测输出电流并把它的一部分返回到输入端。根据图 8.65 断开环路,得到图 8.66(b)的电路,我们得到

$$A_{1,\text{open}} = -(R_F + R_S)g_{m1}R_D \frac{1}{R_S \parallel R_F + 1/g_{m2}} \quad (8.106)$$

环路增益为 $h_{21} A_{1,\text{open}}$ 。由式(8.62)可知, $V_2=0$ 时 $h_{21}=I_2/I_1$ 。对于由 R_S 和 R_F 构成的反馈网络, 我们得到 $h_{21}=-R_S/(R_S+R_F)$ 。闭环增益等于 $A_{1,\text{open}}/(1+h_{21} A_{1,\text{open}})$ 。

314

8.5.6 加载效应小结

对前面各种加载的研究结果在图 8.67 中进行了小结。分析可以分三步进行：
(1)断开含有完全加载的环路, 计算开环增益 A_{OL} 及开环输入和输出阻抗；
(2)确定反馈系数 β , 得出环路增益 βA_{OL} ；
(3)将开环的各个值通过比例因子 $1+\beta A_{OL}$ 的变化, 计算闭环增益、输入和输出的阻抗。
注意, 在定义 β 的式子中, 脚标 1 和 2 分别指反馈网络的输入和输出端口。

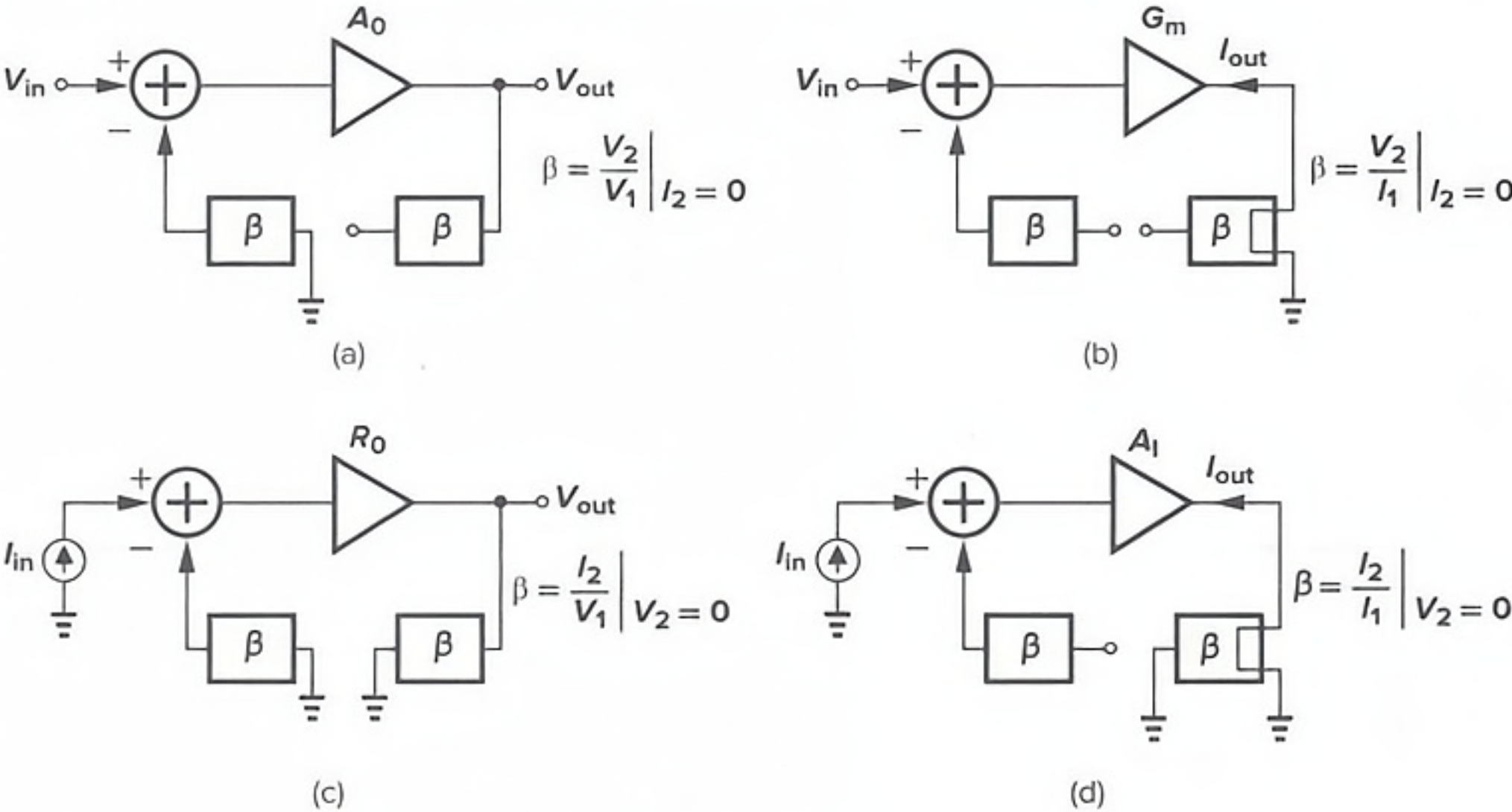


图 8.67 加载效应小结

在本章中, 我们阐述了得到环路增益的两种方法：
(1)通过如图 8.5 所示在任意点断开环路；
(2)通过如图 8.67 所示计算 A_{OL} 和 β 。

由于表 8.1 所列出的各种问题, 用这两种方法得到的结果稍有不同。

8.6 反馈电路中的波特分析方法

波特方法为电路的闭环参数(无论它是否包含反馈)提供了严格的解决方法, 但是它不能提供多个反馈机制存在条件下的环路增益。本节中提出的分析最初是由波特(Bode)在其 1945 年的经典教材《网络分析和反馈网络的设计》中叙述的。由于这种方法不那么直观, 我们鼓励读者耐心地、多次地阅读本节内容。

8.6.1 观察结果

探讨波特分析方法之前,我们应该进行两个简单的、然而新的关于电路方程式的分析。

首先,考虑图 8.68(a)中所示的一般电路,其中一个晶体管明确地显示了理想的形式。从前面的章节中关于小信号增益和传输函数的分析我们知道, V_{out} 最终可以表示为 $A_v V_{in}$ 或 $H(s)V_{in}$ 。但是,如果我们用 I_1 表示受控的电流源而不进行 $I_1 = g_m V_1$ 的替换,结果会怎样?

315 这时,得到的 V_{out} 作为 V_{in} 和 I_1 两者的函数:

$$V_{out} = AV_{in} + BI_1 \quad (8.107)$$

以图 8.68(b)所示的带负反馈的共源级为例,我们注意到,向上流过 R_D (和向下通过 R_S) 的电流等于 $-V_{out}/R_D$,因此 r_o 两端的电压降为 $(-V_{out}/R_D - I_1)r_o$ 。因此,由绕输出网络的 KVL 得出

$$V_{out} = \left(-\frac{V_{out}}{R_D} - I_1\right)r_o - \frac{V_{out}}{R_D}R_S \quad (8.108)$$

即

$$V_{out} = \frac{-r_o}{1 + \frac{r_o + R_S}{R_D}} I_1 \quad (8.109)$$

在这种情况下, $A=0$ 和 $B=-r_o R_D/(R_D + r_o + R_S)$ 。

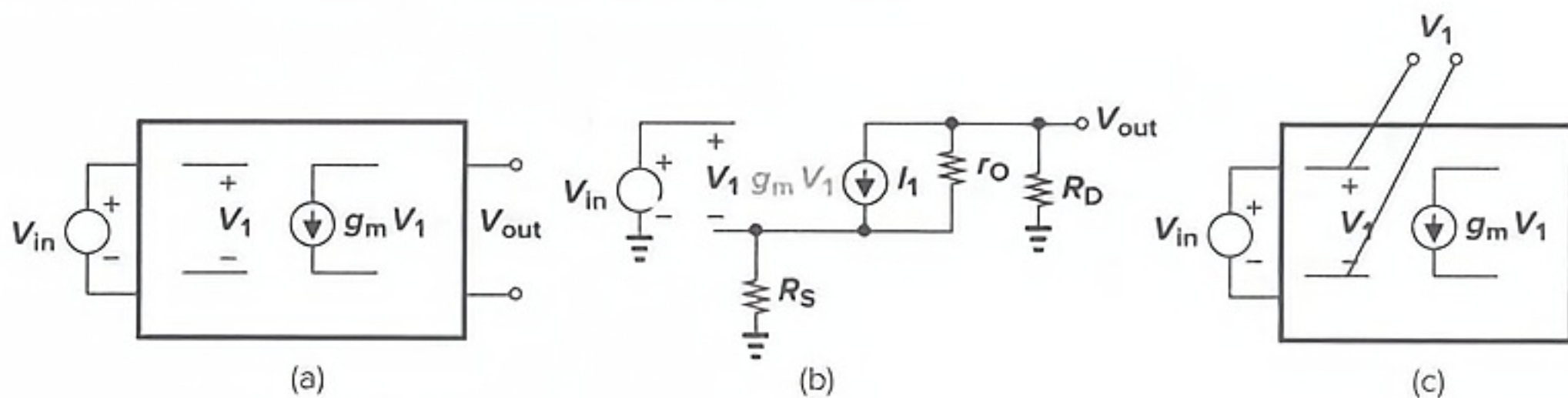


图 8.68 (a) 含有受控源的电路; (b) 电路的例子; (c) V_1 作为所关注的信号

其次,让我们返回到图 8.68(a)的一般电路,并把 V_1 作为所关注的信号,即,我们希望 V_1 作为 V_{in} 的函数,以 $A_v V_{in}$ 或 $H(s)V_{in}$ 的形式来计算 V_1 。通过假装 V_1 就是“输出”,这总是可能的,如图 8.68(c)所示。类似于式(8.107), V_1 可以写成

$$V_1 = CV_{in} + DI_1 \quad (8.110)$$

如果我们暂时忘记 $I_1 = g_m V_1$ 。例如在图 8.68(b)中,我们把通过 R_S (和 R_D) 的电流表示为 $(V_{in} - V_1)/R_S$ (译者注:原文此式中无“/”号,有误),从 I_1 中减去这个电流,并让所得到的电流通过 r_o 。由绕输出网络的 KVL 得到

$$V_{in} - V_1 - \left(I_1 - \frac{V_{in} - V_1}{R_S}\right)r_o = -\frac{V_{in} - V_1}{R_S}R_D \quad (8.111)$$

因此得到

$$V_1 = V_{in} - \frac{r_o R_S}{R_D + r_o + R_S} I_1 \quad (8.112)$$

也就是说, $C=1, D=-r_o R_S/(R_D+r_o+R_S)$ 。

总之, 在一个给定的、至少包含一个晶体管的电路中(无论有无反馈), 我们最终可以得到关于 V_{out} 和 V_1 的两个方程式, 它们均用 V_{in} 和 I_1 来表示。为了得到 V_{out}/V_{in} , 我们求解这两个方程, 同时要应用 I_1 实际上等于 $g_m V_1$ 的知识。

上述的研究, 特别是式(8.107)和式(8.110), 似乎是不必要的、繁琐的。毕竟我们可以用更少的代数方程直接求解图 8.68(b)中的电路。然而, 关于系数 A 、 B 、 C 和 D 的解释提供了一个简单而优雅的反饋分析方法。

8.6.2 系数的解释

我们关注式(8.107)和式(8.110), 对给定的电路, 系数 $A \sim D$ 是否可以直接计算? 我们从 A 开始:

$$A = \frac{V_{out}}{V_{in}}, \text{ 如果 } I_1 = 0 \quad (8.113)$$

这一结果意味着, 如果受控的电流源设置为零, 便可得到该电路的电压增益 A , 这可以通过“禁用”晶体管、即迫使晶体管的 g_m 为零的方法很容易地实现。在这种情况下, 我们可以考虑 V_{out} 作为输入信号的“馈通”(在没有理想的晶体管时)[图 8.69(a)]。在共源级中, 如果 $I_1=0$, 则 $V_{out}=0$, 因为没有电流通过 R_S 、 r_o 和 R_D , 即 $A=0$ 。

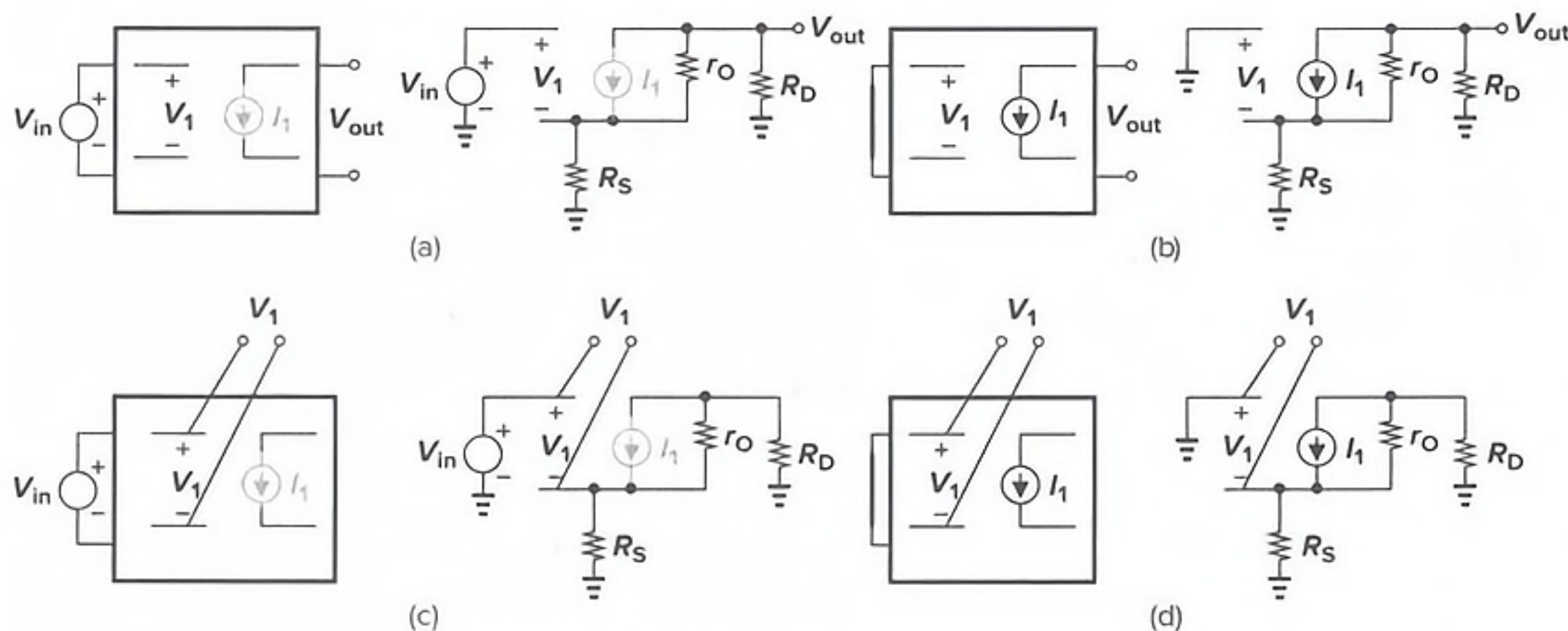


图 8.69 为计算以下系数进行的设置:(a) A ;(b) B ;(c) C ;(d) D

至于式(8.107)中的系数 B , 我们有

$$B = \frac{V_{out}}{I_1}, \text{ 如果 } V_{in} = 0 \quad (8.114)$$

也就是说, 我们将输入设置为零, 通过 I_1 来计算 V_{out} [图 8.69(b)], 假装 I_1 是一个独立的电流源^①。在共源级的例子中, 有

$$\left(-\frac{V_{out}}{R_D} - I_1\right)r_o - \frac{V_{out}}{R_D}R_S = V_{out} \quad (8.115) \quad 317$$

① 如果 I_1 仍然被认为是一个受控源, 则电路没有外部的激励, 因此不会产生电压或电流。

由此可得

$$V_{\text{out}} = \frac{-r_o R_D}{R_D + r_o + R_S} I_1 \quad (8.116)$$

因此, $B = -r_o R_D / (R_D + r_o + R_S)$ 。

式(8.110)中的系数 C 被解释为

$$C = \frac{V_1}{V_{\text{in}}}, \text{ 如果 } I_1 = 0 \quad (8.117)$$

即, 如果晶体管的 g_m 设置为 0, C 是从输入到 V_1 的传输函数[图 8.69(c)]。在共源电路中, 这种情况下没有电流流过 R_S , 产生 $V_1 = V_{\text{in}}$ 和 $C = 1$ 。

最后, 得到的系数 D 为

$$D = \frac{V_1}{I_1}, \text{ 如果 } V_{\text{in}} = 0 \quad (8.118)$$

如图 8.69(d)所示, 如果输入为零, D 表示从 I_1 到 V_1 的传输函数。在共源级中, 流经 R_S (和 R_D) 的电流在这种情况下等于 $-V_1/R_S$, r_o 两端产生的电压降为 $(-V_1/R_S - I_1)r_o$ 。绕输出网络的 KVL 得到

$$-V_1 - \left(\frac{V_1}{R_S} + I_1\right)r_o = \frac{V_1}{R_S}R_D \quad (8.119)$$

由此我们得到

$$V_1 = -\frac{r_o R_S}{R_D + r_o + R_S} I_1 \quad (8.120)$$

因此, $D = -r_o R_S / (R_D + r_o + R_S)$ 。

总之, 系数 $A \sim D$ 的计算如图 8.70 所示: (1) 通过设置 g_m 为 0 来禁用晶体管, 并作为从 V_{in} 到 V_{out} 和 V_1 的馈通分别得到 A 和 C ; (2) 将输入设置为零, 并作为从 I_1 到 V_{out} 和 V_1 的增益分别我们计算 B 和 D 。从另一个角度看, 前一步求得 $g_m = 0$ 时对 V_{in} 产生的响应; 后一步求得 $V_{\text{in}} = 0$ 时对 I_1 的响应。我们甚至可以说, 电路每次只被 V_{in} 或 I_1 中的一个输入激励, 并产生两个所关注的输出: V_{out} 和 V_1 。读者可能还看不到这些推导的原因, 但耐心是一种美德!

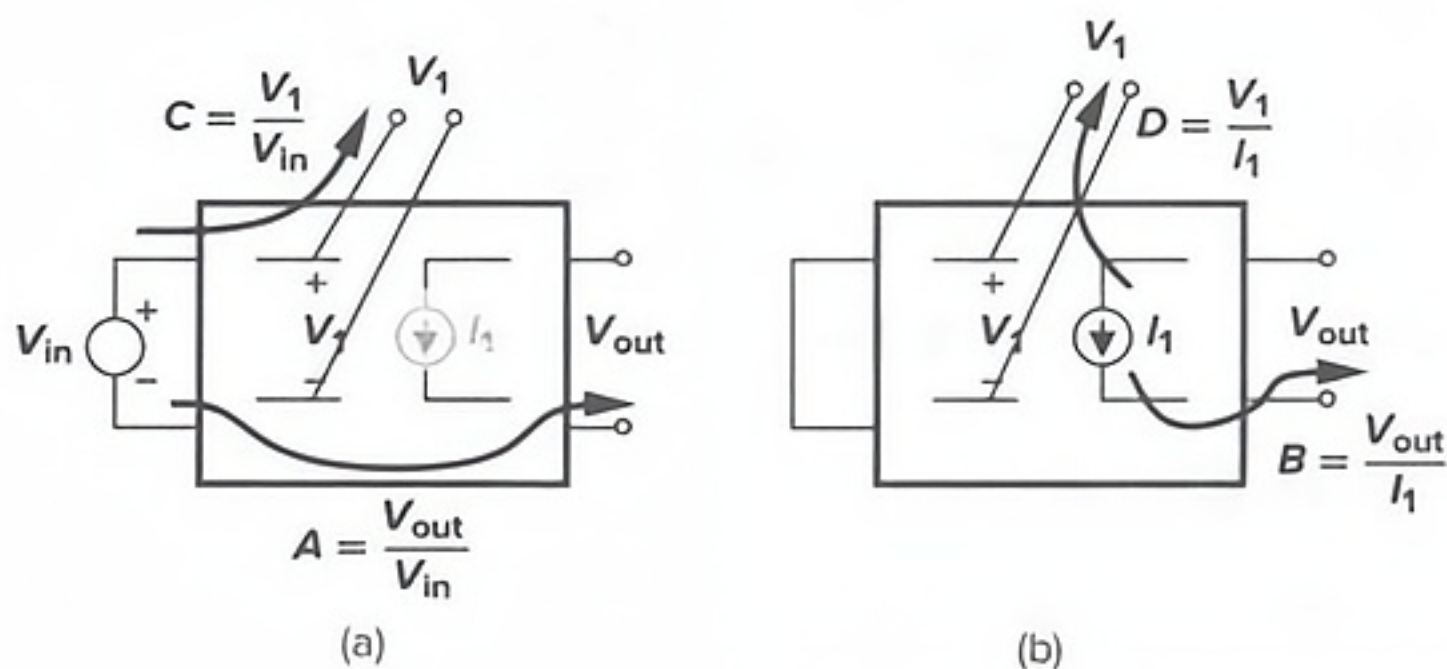


图 8.70 计算 $A \sim D$ 的小结

例 8.18

计算图 8.71(a)所示电路的系数 $A \sim D$ 。

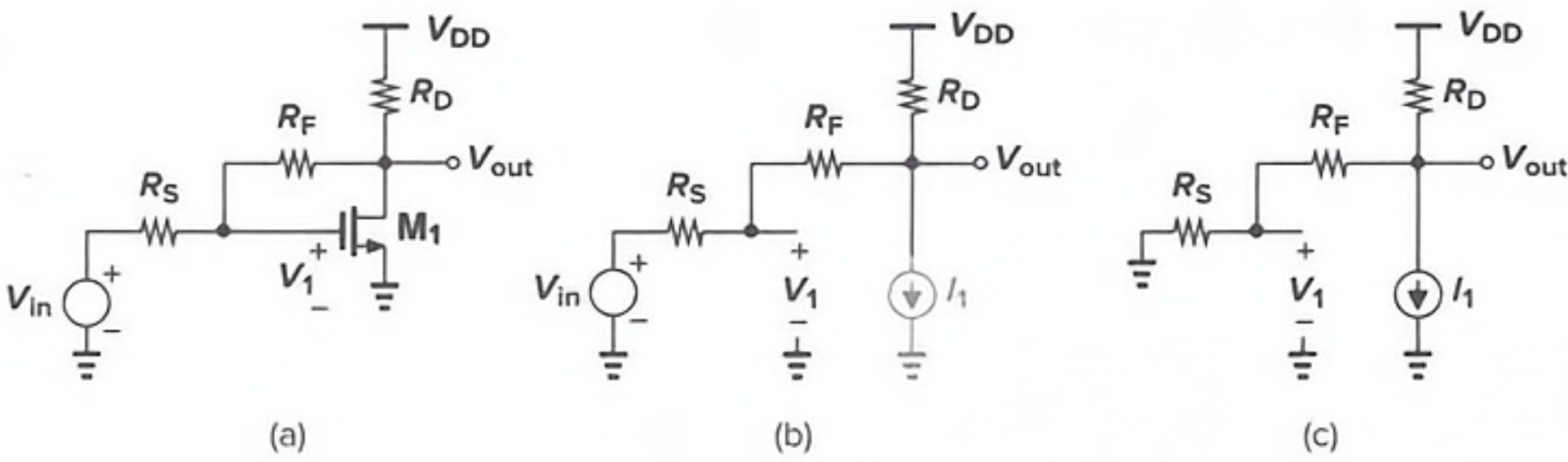


图 8.71

解：根据图 8.70 中所示的步骤，我们首先设置 I_1 (即 g_m) 为零，并确定馈通成分 V_{out}/V_{in} 和 V_1/V_{in} 。从图 8.71(b)，我们得到

$$A = \frac{V_{out}}{V_{in}} \tag{8.121}$$

$$= \frac{R_D}{R_D + R_S + R_F} \tag{8.122}$$

和

$$C = \frac{V_1}{V_{in}} \tag{8.123}$$

$$= \frac{R_F + R_D}{R_D + R_S + R_F} \tag{8.124}$$

其次，我们令 V_{in} 为 0，并计算从 I_1 到 V_{out} 和 V_1 的传输函数[图 8.71(c)]：

$$B = \frac{V_{out}}{I_1} \tag{8.125}$$

$$= -R_D \parallel (R_S + R_F) \tag{8.126}$$

$$= -\frac{R_D(R_S + R_F)}{R_D + R_S + R_F} \tag{8.127}$$

和

$$D = \frac{V_1}{I_1} \tag{8.128}$$

$$= \frac{R_S}{R_S + R_F} \frac{V_{out}}{I_1} \tag{8.129}$$

$$= -\frac{R_S R_D}{R_D + R_S + R_F} \tag{8.130}$$

对于后续研究，我们必须更新关于环路增益计算的记忆。

例 8.19

确定图 8.71(a)所示电路中精确的环路增益。

解：我们喜欢在一个不会引起加载效应的端点来断开环路。让我们在 M_1 的栅极断开，如

图 8.72(a)所示。加一个测试电压 V_t , 并计算反馈电压 V_F , 得到

$$\text{环路增益} = -\frac{V_F}{V_t} \quad (8.131)$$

$$= g_m [R_D \parallel (R_S + R_F)] \frac{R_S}{R_S + R_F} \quad (8.132)$$

$$= \frac{g_m R_S R_D}{R_D + R_S + R_F} \quad (8.133)$$

注意, 环路增益和式(8.130)的系数 D 只相差系数 $-g_m$ 。下面我们将返回到这一点。

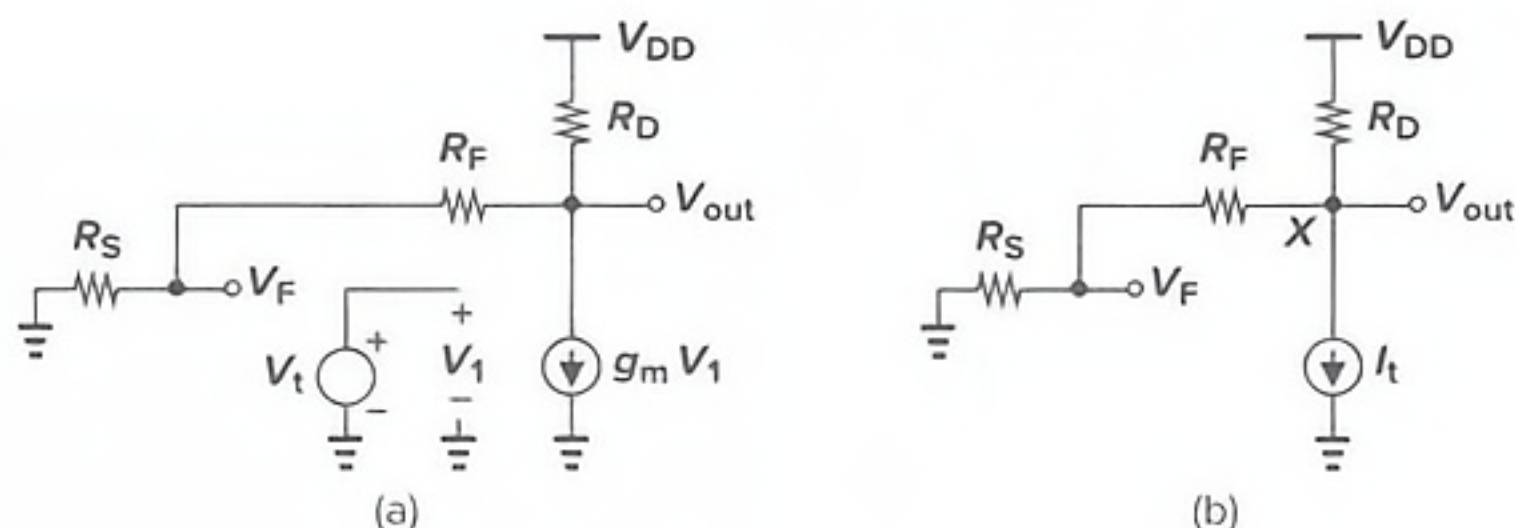


图 8.72

或者, 我们可以在受控电流源的顶端断开环路。如图 8.72(b)所示, 这个想法是从结点 X 抽取测试电流 I_t , 并测量产生的反馈电压 V_F 。我们认识到, 要得到环路增益, 比值 $-V_F/I_t$ 必须乘以 g_m :

$$V_F = -I_t [R_D \parallel (R_S + R_F)] \frac{R_S}{R_S + R_F} \quad (8.134)$$

因此, 有

$$\text{环路增益} = -\frac{g_m V_F}{I_t} \quad (8.135)$$

$$= \frac{g_m R_S R_D}{R_D + R_S + R_F} \quad (8.136)$$

我们看到了图 8.69(d)中 D 的计算和图 8.72(b)中环路增益的计算之间的相似性。在两种情况下, 我们将输入设置为零, 应用 I_t 或 V_t , 并测量控制电压 V_1 。因此, 我们推测 D 和环路增益可能有关。现在我们仍保持读者的悬念。

8.6.3 波特分析

上一节中我们看到, 可以相对容易地计算系数 $A \sim D$ 。现在, 我们用这些系数来表示 V_{out}/V_{in} 。由于

$$V_{out} = AV_{in} + BI_t \quad (8.137)$$

$$V_1 = CV_{in} + DI_t \quad (8.138)$$

以及在实际电路中 $I_t = g_m V_1$, 我们得到

$$V_1 = \frac{C}{1 - g_m D} V_{in} \quad (8.139)$$

因此,闭环增益为

$$\frac{V_{\text{out}}}{V_{\text{in}}} = A + \frac{g_m BC}{1 - g_m D} \quad (8.140)$$

正如所料,第一项表示输入-输出的馈通,当 $g_m = 0$ 时,它会表现出来。我们也可以将上式写为

$$\frac{V_{\text{out}}}{V_{\text{in}}} = \frac{A + g_m (BC - AD)}{1 - g_m D} \quad (8.141)$$

与闭环电路的直接分析不同,波特方法把计算分解成几个更简单的步骤。虽然在我们的公式表示中假设的是受控的电流源,所得到的这些结果也同样适用于受控电压源。让我们采用波特方法求解一些电路。

例 8.20

确定图 8.69 所示负反馈共源级的电压增益。

解:利用对图 8.69 的分析所得到的结果,并注意 $A=0$ 和 $C=1$,我们得到

$$\frac{V_{\text{out}}}{V_{\text{in}}} = \frac{g_m \frac{-r_o R_D}{R_D + r_o + R_S}}{1 + g_m \frac{r_o R_S}{R_D + r_o + R_S}} \quad (8.142)$$

$$= \frac{-g_m r_o R_D}{R_D + r_o + (1 + g_m r_o) R_S} \quad (8.143)$$

鼓励读者在体效应存在的条件下重做这一分析。

例 8.21

不断开环路,确定图 8.71(a)中反馈放大器的电压增益。

解:借助于例 8.18 中得到的结果,得到

$$\frac{V_{\text{out}}}{V_{\text{in}}} = \frac{R_D}{R_D + R_S + R_F} + \frac{-g_m \frac{r_D (R_S + R_F) (R_F + R_D)}{(R_D + R_S + R_F)^2}}{1 + \frac{g_m R_S R_D}{R_D + R_S + R_F}} \quad (8.144)$$

$$= \frac{R_D}{R_D + R_S + R_F} + \frac{-g_m R_D (R_S + R_F) (R_F + R_D)}{(R_D + R_S + R_F + g_m R_S R_D) (R_D + R_S + R_F)} \quad (8.145)$$

请注意,此结果是精确的。第一项表示在没有晶体管工作($g_m = 0$)时电路的直接馈通。

321

在什么条件下上述的电压增益会简化为熟悉的理想形式 $-R_F/R_S$? 我们可以推测, R_D 必须足够小,以便不会“感觉”到 R_F 的加载效应。但是, $R_D \ll R_F$ 的条件不会产生 $-R_F/R_S$ 的电压增益。毕竟,这个理想值也意味着高的开环增益。因此,为使上述的结果简化为 $-R_F/R_S$,我们需要两个条件: $R_D \ll R_F$ 和 $g_m R_D \gg 1$ 。

让我们做一个有用的观察。如果 $A=0$,式(8.140)得到 $V_{\text{out}}/V_{\text{in}} = g_m BC/(1 - g_m D)$,该结果类似于一般反馈方程式 $A_0/(1 + \beta A_0)$ 。因此,我们不精确地称 $g_m BC$ 为“开环”增益。

返回比与环路增益

如例 8.19 中提到的,系数 $D(=V_1/I_1, \text{如果 } V_{in}=0)$ 和环路增益似乎有关。事实上,式 (8.141) 中的闭环增益表达式表明, $1-g_m D=1+\text{环路增益}$, 因此环路增益 $=-g_m D$ 。这不是巧合:在这两种情况下,我们均将主输入设置为 0,通过用独立源替代受控源来断开环路,并计算返回的量。

波特在最初的反馈处理中,引入了术语“返回比”(RR)来表示 $-g_m D$,并认为它是由电路中给定的受控源产生的^[1]。因此,获得返回比的方法是,通过注入电压来替代 V_{GS} 或注入电流来替代 I_D ,即使不能完全断开环路,都表现得与真正的环路增益一样^①。事实上,如果该电路只包含一个反馈机制,并且环路通过所关注的晶体管,返回比就等于环路增益。我们稍后将详细说明这一点。

例 8.22

采用波特方法确定图 8.73(a)所示的源跟随器的电压增益。假设 $\lambda=\gamma=0$ 。

解:图 8.73(b)画出了小信号模型。图 8.70 表明,为计算系数 A 和 C ,应设置 g_m 为 0,从而得到

$$A = \frac{V_{out}}{V_{in}} = 0 \quad (8.146)$$

$$C = \frac{V_1}{V_{in}} = 1 \quad (8.147)$$

对于系数 B 和 D ,我们设置 V_{in} 为 0,并应用电流源 I_1 来代替 $g_m V_1$:

$$B = \frac{V_{out}}{I_1} = R_S \quad (8.148)$$

$$D = \frac{V_1}{I_1} = -R_S \quad (8.149)$$

由式(8.140)或(8.141),我们得到

$$\frac{V_{out}}{V_{in}} = \frac{g_m R_S}{1 + g_m R_S} \quad (8.150)$$

与受控源关联的返回比等于 $-g_m D = g_m R_S$ 。

如果 R_S 趋于理想的电流源的电阻,这里出现一个奇怪的结果:返回比 $g_m R_S$ 趋于无穷大, B 也趋于无穷大。由于式(8.140)通过除以 B 和 D 来得到结果,如果 B 和 D 是无穷大,一般可能会产生错误的值。然而,在源跟随器的情况下,式(8.140)产生了正确的结果。

例 8.23

图 8.74 显示的电路中,晶体管 M_1 处在反馈环路之外。采用波特方法,计算 V_{out}/V_{in} 。

解:我们首先通过设置 g_{m1} 为 0 得到 A 和 C :

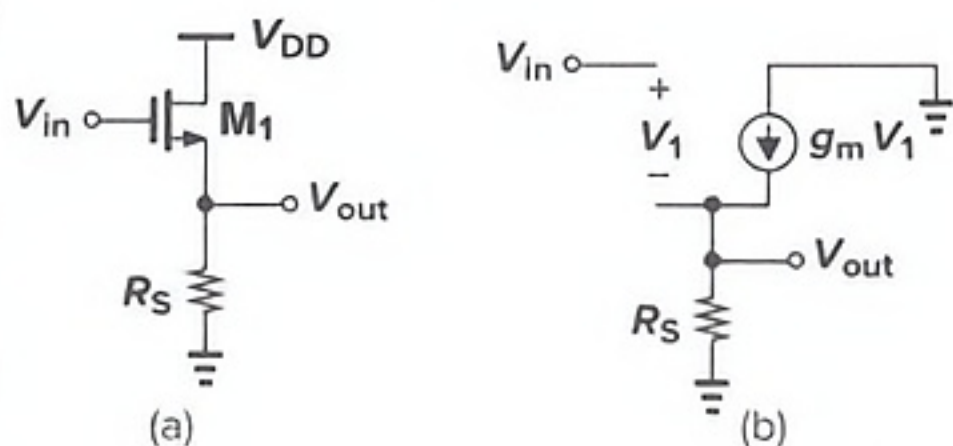


图 8.73

① 我们所说的真正环路增益,是没有任何近似得到的环路增益,例如,没有忽略加载或输入信号通过网络反馈到主输出的传输。

$$A = \frac{V_{\text{out}}}{V_{\text{in}}} = 0 \quad (8.151)$$

$$C = \frac{V_1}{V_{\text{in}}} = \frac{g_{m2}R_S}{1 + g_{m2}R_S} \quad (8.152)$$

其次,我们设置 V_{in} 为 0 并应用 I_1 代替 M_1 :

$$B = \frac{V_{\text{out}}}{I_1} = -R_D \quad (8.153)$$

$$D = \frac{V_1}{I_1} = 0 \quad (8.154)$$

正如所料,对 M_1 的返回比为 0。因此,我们有

$$\frac{V_{\text{out}}}{V_{\text{in}}} = g_{m1} \left(-R_D \frac{g_{m2}R_S}{1 + g_{m2}R_S} \right) \quad (8.155)$$

另外,通过将 M_2 作为所关注的受控源也可得到增益。对 M_2 的返回比,与前一个例题中对源跟随器所求出的结果是一样的。尽管该电路包含一个反馈机制,由于反馈环路不通过 M_1 ,这两个返回比是不相等的。

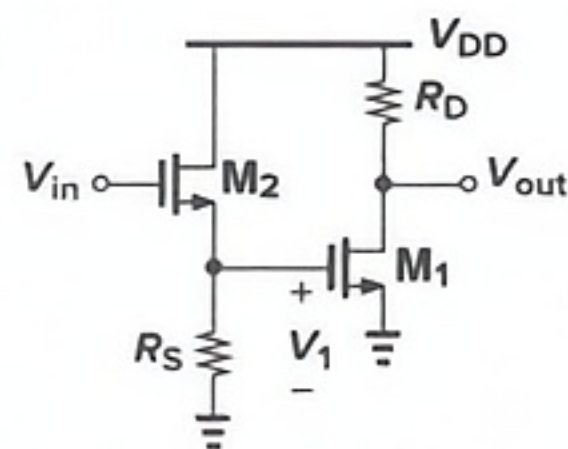


图 8.74

例 8.24

计算图 8.75(a)所示电路的闭环增益。假设 $\lambda = \gamma = 0$ 。

323

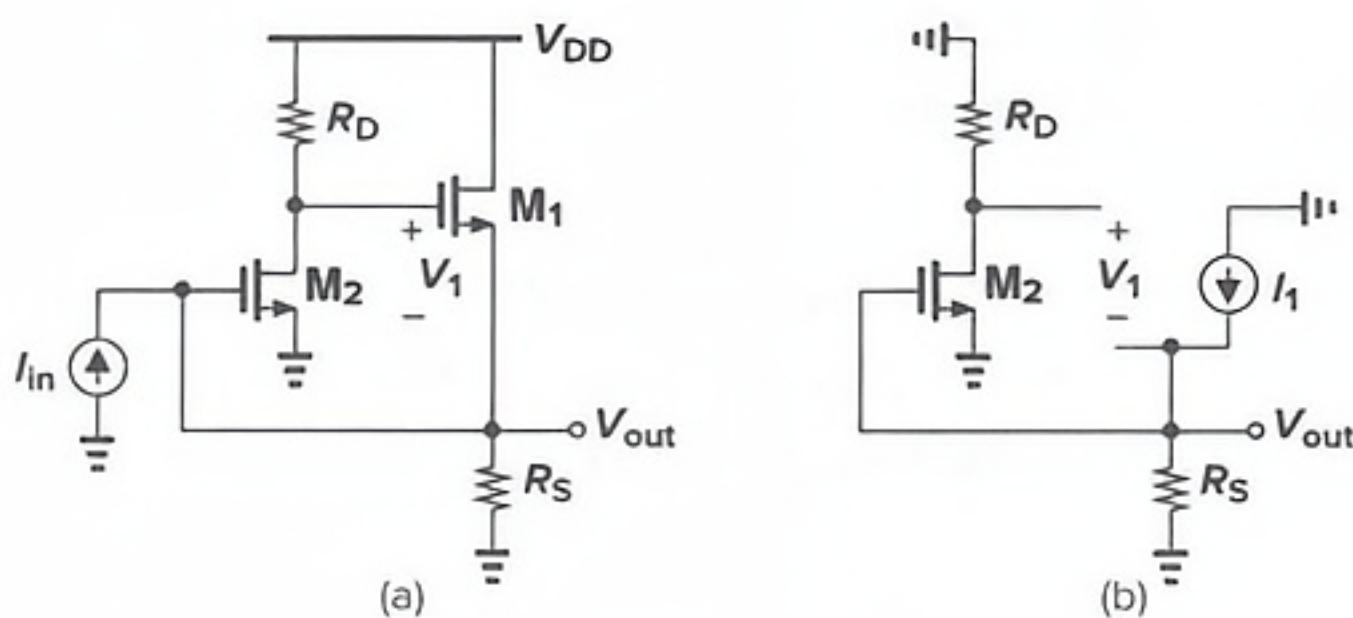


图 8.75

解:根据图 8.70 中的原理图,我们计算系数 $A \sim D$ 。我们可以选择其中的一个晶体管作为关注的器件。设置 g_{m1} 为 0,我们得到

$$A = \frac{V_{\text{out}}}{I_{\text{in}}} \quad \text{如果 } g_{m1} = 0 \quad (8.156)$$

$$= R_S \quad (8.157)$$

因为没有 M_1 , I_{in} 只流过 R_S ,结果在输出产生反馈成分。对于 C ,我们注意到 $V_1 = I_{\text{in}}R_S(-g_{m2}R_D) - I_{\text{in}}R_S$,因此

$$C = \frac{V_1}{I_{\text{in}}} \quad \text{如果 } g_{m1} = 0 \quad (8.158)$$

$$= -(1 + g_{m2}R_D)R_S \quad (8.159)$$

我们现在设置 I_{in} 为 0,并注入一个独立电流源来代替 M_1 ,如图 8.75(b)所示。由于 $V_{\text{out}} = I_1R_S$,故

$$B = \frac{V_{\text{out}}}{I_1} \quad \text{如果 } I_{\text{in}} = 0 \quad (8.160)$$

$$= R_S \quad (8.161)$$

此外, $V_1 = I_1 R_S (-g_{m2} R_D) - I_1 R_S = -I_1 R_S (1 + g_{m2} R_D)$, 可得到

$$D = \frac{V_1}{I_1} \quad \text{如果 } I_{\text{in}} = 0 \quad (8.162)$$

$$= -R_S (1 + g_{m2} R_D) \quad (8.163)$$

因此, 由式(8.140)得到

$$\frac{V_{\text{out}}}{I_{\text{in}}} = A + \frac{g_{m1} BC}{1 - g_{m1} D} \quad (8.164)$$

$$= R_S - \frac{g_{m1} (1 + g_{m2} R_D) R_S^2}{1 + g_{m1} R_S (1 + g_{m2} R_D)} \quad (8.165)$$

$$= \frac{R_S}{1 + g_{m1} R_S (1 + g_{m2} R_D)} \quad (8.166)$$

324 对于以 M_2 作为关注的受控源, 鼓励读者重做推导。

8.6.4 布莱克曼阻抗定理

我们继续努力, 在不断开环路的情况下来计算反馈系统的闭环参数, 现在学习布莱克曼定理(Blackman's theorem)。该定理可确定通常电路中任一个端点所看到的阻抗。该定理可以采用波特方法来证明。

考虑图 8.76(a) 中所示的一般电路, 其中结点 P 和 Q 之间的阻抗是我们所关注的。正如在波特的分析中那样, 我们已明确地表明, 各晶体管中的一个按照理想模型: 压控电流源 I_1 。让我们假装 I_{in} 是输入信号而 V_{in} 是输出信号, 以便可以利用波特的结果:

$$V_{\text{in}} = AI_{\text{in}} + BI_1 \quad (8.167)$$

$$V_1 = CI_{\text{in}} + DI_1 \quad (8.168)$$

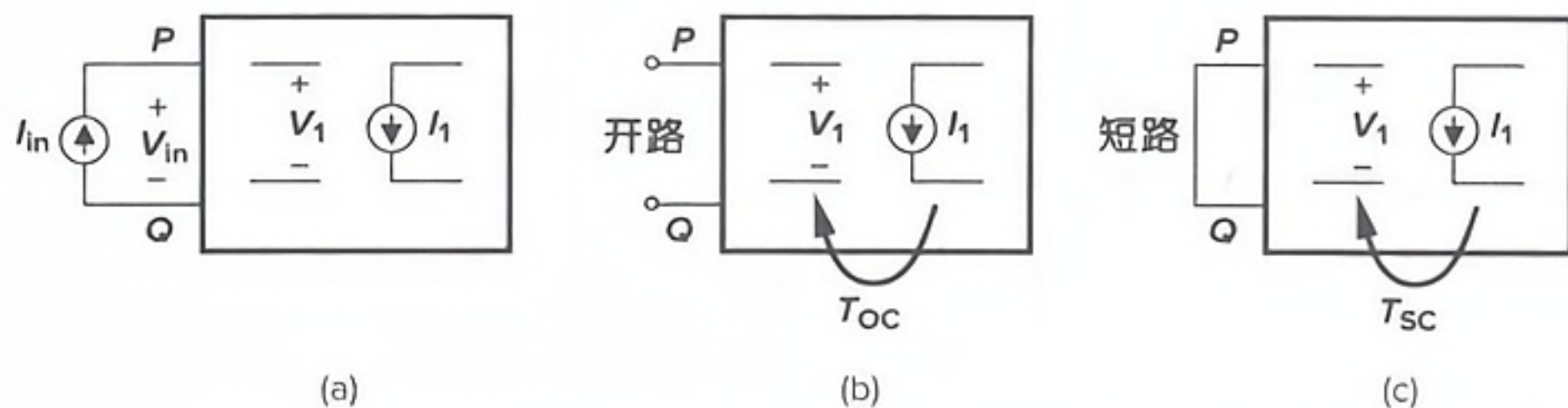


图 8.76 (a) 计算端口阻抗的结构; (b) T_{OC} 的计算; (c) T_{SC} 的计算

由此得出

$$Z_{\text{in}} = \frac{V_{\text{in}}}{I_{\text{in}}} = A + \frac{g_m BC}{1 - g_m D} \quad (8.169)$$

其中的 g_m 表示由 I_1 模拟晶体管的跨导, 如图 8.76(a) 所示。现在我们用三个步骤来处理上述的结果, 以获得更直观的表达式。首先, 从式(8.168)可知, 如果 $I_{\text{in}} = 0$, 则 $V_1/I_1 = D$ 。我们

称 $-g_m D$ 为“开路环路增益”(因为所关注的端口处于开路),并以 T_{OC} 来表示[图 8.76(b)]。在第二步中,由式(8.167)我们注意到,如果 $V_{in}=0$,则 $I_{in}=(-B/A)I_1$,因此,由式(8.168)得到

$$\frac{V_1}{I_1} = \frac{AD - BC}{A} \quad (8.170)$$

我们把这个量乘以 $-g_m$ 称为“短路”环路增益(因为 $V_{in}=0$),并以 T_{SC} 表示[图 8.76(c)]。注意,在这两种情况下该电路拓扑结构出现的变化。对这两种结构, T_{OC} 和 T_{SC} 均可以被看作是与 I_1 关联的返回比。总之,有

$$T_{OC} = -g_m \frac{V_1}{I_1} \Big|_{I_{in}=0} \quad (8.171)$$

$$T_{SC} = -g_m \frac{V_1}{I_1} \Big|_{V_{in}=0} \quad (8.172) \quad 325$$

在第三步中,我们采用 T_{OC} 和 T_{SC} 来重写式(8.169),得到

$$Z_{in} = \frac{V_{in}}{I_{in}} = \frac{A - g_m(BC - AD)}{1 - g_m D} \quad (8.173)$$

$$= A \frac{1 + T_{SC}}{1 + T_{OC}} \quad (8.174)$$

这个结果最初是由布莱克曼推导的^[2],有助于许多直觉理解。通过回顾我们知道,如果 $I_1=0$,即当所考虑的晶体管被禁用时, $A=V_{in}/I_{in}$ 。我们粗略地将 A 看作“开环”阻抗,因为它是在反馈环路中没有晶体管的条件下得到的。此外,我们观察到:(1)如果 $T_{SC} \ll 1$,则 $Z_{in} \approx A/(1+T_{OC})$;就是说,开环阻抗除以 $(1+T_{OC})$;(2)如果 $|T_{OC}| \ll 1$,则 $Z_{in} \approx A(1+T_{SC})$,即开环阻抗乘以 $(1+T_{SC})$ 。这让人联想到前面推导的、闭环的输入和输出的阻抗,但是,这两种情况表明,在一般情况下闭环阻抗不能表示为 Z_{in} 乘以或除以 $(1+ \text{环路增益})$ 。

例 8.25

确定负反馈共源级[图 8.77(a)]的输出阻抗。假设 $\gamma=0$ 。

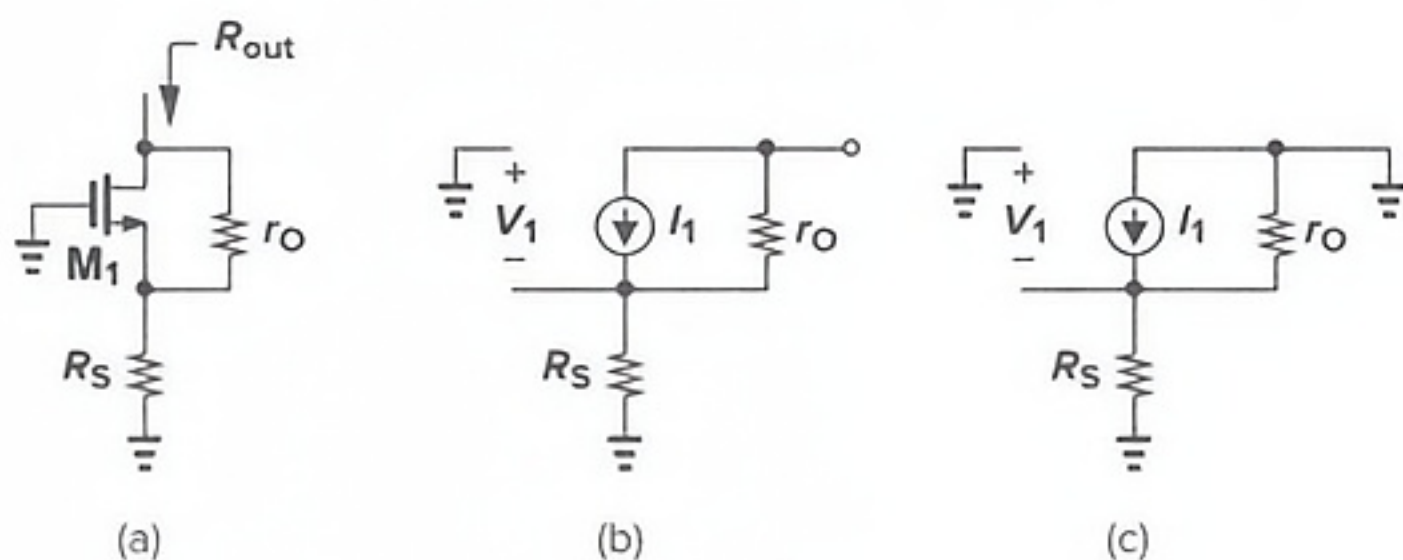


图 8.77

解:我们必须计算三个量。第一,如果晶体管被禁用,则有

$$A = r_O + R_S \quad (8.175)$$

第二,如果所关注的端口处于开路[图 8.77(b)],我们得到

$$T_{OC} = -g_m \frac{V_1}{I_1} \quad (8.176)$$

$$= 0 \quad (8.177)$$